

(19) 日本国特許庁(JP)

(12) 公開特許公報(A)

(11) 特許出願公開番号

特開2012-197914

(P2012-197914A)

(43) 公開日 平成24年10月18日(2012.10.18)

(51) Int.Cl.	F 1	テーマコード (参考)
F 1 6 H 61/12 (2010.01)	F 1 6 H 61/12	3 J 5 5 2
F 1 6 H 61/662 (2006.01)	F 1 6 H 61/662	
F 1 6 H 61/02 (2006.01)	F 1 6 H 61/02	

審査請求 未請求 請求項の数 4 O L (全 12 頁)

(21) 出願番号 特願2011-63899 (P2011-63899)
 (22) 出願日 平成23年3月23日 (2011. 3. 23)

(71) 出願人 000231350
 ジャトコ株式会社
 静岡県富士市今泉700番地の1
 (74) 代理人 100075513
 弁理士 後藤 政喜
 (74) 代理人 100114236
 弁理士 藤井 正弘
 (74) 代理人 100120260
 弁理士 飯田 雅昭
 (72) 発明者 倉橋 嘉裕
 静岡県富士市今泉700番地の1 ジャトコ株式会社内
 (72) 発明者 渡辺 真一郎
 静岡県富士市今泉700番地の1 ジャトコ株式会社内

最終頁に続く

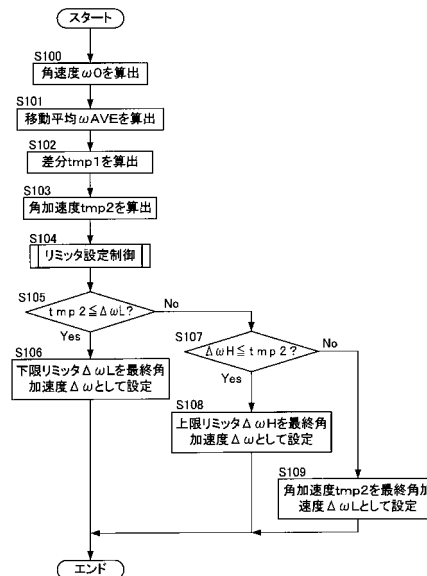
(54) 【発明の名称】 無段変速機の制御装置

(57) 【要約】

【課題】油圧超過およびベルト滑りの発生を抑制する無段変速機の制御装置を提供する。

【解決手段】プライマリプーリ2と、セカンダリプーリ3と、プライマリプーリ2とセカンダリプーリ3とに巻き掛けられた動力伝達部材4とを有するバリエータ1と、トルクコンバータ6とを備える無段変速機30を制御する無段変速機の制御装置であって、トルクコンバータ6よりも駆動輪17側に位置する回転体15の回転速度を検出する回転速度検出手段12と、単位時間当たりの回転速度の変化量を算出する回転速度変化量算出手段12と、トルクコンバータ6の入力軸と出力軸との回転速度差が大きいほど、変化量のリミッタの絶対値を大きく設定するリミッタ設定手段12と、変化量とリミッタとのうち絶対値が小さい方の値を最終変化量として設定する最終変化量設定手段12と、最終変化量に基づいてバリエータ1に供給する油圧を制御する油圧制御手段12とを備える。

【選択図】 図2



【特許請求の範囲】

【請求項 1】

溝幅を油圧によって変化させる入力側のプライマリプーリと、溝幅を油圧によって変化させる出力側のセカンダリプーリと、前記プライマリプーリと前記セカンダリプーリとに巻き掛けられた動力伝達部材とを有するバリエータと、

駆動源と前記バリエータとの間に配置されたトルクコンバータとを備える無段変速機を制御する無段変速機の制御装置であって、

前記トルクコンバータよりも駆動輪側に位置する回転体の回転速度を検出する回転速度検出手段と、

単位時間当たりの前記回転速度の変化量を算出する回転速度変化量算出手段と、

前記トルクコンバータの入力軸と出力軸との回転速度差が大きいほど、前記変化量のリミッタの絶対値を大きく設定するリミッタ設定手段と、

前記変化量と前記リミッタとのうち絶対値が小さい方の値を最終変化量として設定する最終変化量設定手段と、

前記最終変化量に基づいて前記バリエータに供給する油圧を制御する油圧制御手段とを備えることを特徴とする無段変速機の制御装置。

【請求項 2】

請求項 1 に記載の無段変速機の制御装置であって、

前記最終変化量に基づいて前記バリエータに入力する入力トルクを算出する入力トルク算出手段を備え、

前記油圧制御手段は、前記入力トルクに基づいて前記バリエータに供給する油圧を制御することを特徴とする無段変速機の制御装置。

【請求項 3】

請求項 1 または 2 に記載の無段変速機の制御装置であって、

前記回転速度検出手段は、前記回転体の回転により発せられるパルス信号に基づいて前記回転速度を検出し、

前記リミッタ設定手段は、前記回転体の回転速度が大きいほど前記リミッタの絶対値を大きくすることを特徴とする無段変速機の制御装置。

【請求項 4】

請求項 1 から 3 のいずれか一つに記載の無段変速機の制御装置であって、

前記最終変化量設定手段は、前記変化量が負の場合には前記変化量を前記最終変化量として設定することを特徴とする無段変速機の制御装置。

【発明の詳細な説明】

【技術分野】

【0001】

本発明は無段変速機の制御装置に関するものである。

【背景技術】

【0002】

従来、無段変速機の回転速度をセンサによって検出し、検出した回転速度の変化量が上限しきい値を上回っている、もしくは下限しきい値を下回っている場合には、前回ルーチン実行時に検出した検出値と所定時間前の移動平均値とから算出した出力補正值を用いるものが、特許文献 1 に開示されている。

【先行技術文献】

【特許文献】

【0003】

【特許文献 1】特開 2005 - 344860 号公報

【発明の概要】

【発明が解決しようとする課題】

【0004】

上記の発明の上限しきい値および下限しきい値は、センサの誤差や外乱などによる誤検

10

20

30

40

50

出が生じた場合に、出力補正值が用いられるようにマージンを持って設定されている。

【0005】

マージンは、センサの検出精度が高い領域においては、センサの出力値が最終的な回転速度とされるようにし、センサの検出精度が低い領域においては、出力補正值が最終的な回転速度とされるようにすることが望ましい。

【0006】

ここで、トルクコンバータにおいて、入力回転速度と出力回転速度とに回転速度差が生じている場合（例えばコンバータ状態）には、外乱などによる影響がトルクコンバータによって吸収されるため、センサによる検出精度は高くなる。一方、トルクコンバータにおいて、入力回転速度と出力回転速度とに回転速度が生じていない場合（ロックアップ状態）には、外乱などによる影響をトルクコンバータで吸収できないので、センサによる検出精度は低くなる。

【0007】

すなわち、トルクコンバータにおいて回転速度差がある場合には、センサの出力値が最終的な回転速度となり、回転速度差がない場合には、出力補正值が最終的な回転速度となり易くすることが望ましい。

【0008】

しかし、上記の発明では、トルクコンバータの状態（コンバータ状態、ロックアップ状態など）を考慮することなく上限値などを設定している。そのため、マージンを大きくし過ぎるとトルクコンバータがロックアップ状態となっている場合に、誤差や外乱などの影響を受け、センサの検出精度が低いにも関わらず、センサの出力値が最終的な回転速度として設定されるおそれがある。一方マージンを小さくし過ぎるとトルクコンバータがコンバータ状態となっている場合に、センサの検出精度が高いにも関わらず、出力補正值が最終的な回転速度として設定されるおそれがある。このようにして、精度が低い回転速度が最終的な回転速度として設定され、精度が低い回転速度に基づいて変速機の油圧が制御されると、油圧供給超過によって燃費が悪化し、油圧供給不足によってベルト滑りが発生する、といった問題点がある。

【0009】

本発明はこのような問題点を解決するために発明されたもので、トルクコンバータの状態に合わせて最終的な回転速度を算出し、精度が高い回転速度に基づいて変速機の油圧を制御することで、燃費を向上し、ベルト滑りを抑制することを目的とする。

【課題を解決するための手段】

【0010】

本発明のある態様に係る無段変速機の制御装置は、溝幅を油圧によって変化させる入力側のプライムプーリと、溝幅を油圧によって変化させる出力側のセカンダリプーリと、プライムプーリとセカンダリプーリとに巻き掛けられた動力伝達部材とを有するバリエータと、駆動源とバリエータとの間に配置されたトルクコンバータとを備える無段変速機を制御する無段変速機の制御装置であって、トルクコンバータよりも駆動輪側に位置する回転体の回転速度を検出する回転速度検出手段と、単位時間当たりの回転速度の変化量を算出する回転速度変化量算出手段と、トルクコンバータの入力軸と出力軸との回転速度差が大きいほど、変化量のリミッタの絶対値を大きく設定するリミッタ設定手段と、変化量とリミッタとのうち絶対値が小さい方の値を最終変化量として設定する最終変化量設定手段と、最終変化量に基づいてバリエータに供給する油圧を制御する油圧制御手段とを備える。

【発明の効果】

【0011】

この態様によると、トルクコンバータの状態に合わせて変化量のリミッタを設定し、精度が高い最終変化量を用いてバリエータに供給する油圧を制御するので、燃費を向上し、ベルト滑りを抑制することができる。

【図面の簡単な説明】

10

20

30

40

50

【 0 0 1 2 】

【 図 1 】 本発明の実施形態の無段変速機を備えた車両の概略を示す図である。

【 図 2 】 本実施形態の最終角加速度を算出するためのフローチャートである。

【 図 3 】 本実施形態のリミッタ設定制御を示すフローチャートである。

【 図 4 】 プライマリプリー回転速度と、トルクコンバータの締結状態と、上限リミッタとの関係を示す図である。

【 図 5 】 プライマリプリー回転速度と、トルクコンバータの締結状態と、下限リミッタとの関係を示す図である。

【 図 6 】 プライマリプリー圧およびセカンダリプリー圧の制御方法を示すフローチャートである。

【 発明を実施するための形態 】

【 0 0 1 3 】

以下、本発明の実施形態を図面に基づき詳細に説明する。

【 0 0 1 4 】

図 1 は、本実施形態の無段変速機 30 を備えた車両の概略を示す。無段変速機 30 は、トルクコンバータ 6 と、前後進切換機構 7 と、パリエータ 1 と、変速機コントローラ 12 とを備える。

【 0 0 1 5 】

パリエータ 1 はプライマリプリー 2 およびセカンダリプリー 3 を両者の V 溝が整列するように配して備え、これらプリー 2、3 の V 溝にベルト 4 が掛け渡される。

【 0 0 1 6 】

プライマリプリー 2 に同軸にエンジン 5 が配置され、エンジン 5 とプライマリプリー 2 との間にエンジン 5 の側から順次トルクコンバータ 6 および前後進切替機構 7 を設ける。

【 0 0 1 7 】

トルクコンバータ 6 は、ロックアップクラッチ 6 a を備える。トルクコンバータ 6 は、ロックアップクラッチ 6 a が完全に締結されたロックアップ状態と、ロックアップクラッチ 6 a が完全に解放されたコンバータ状態と、ロックアップクラッチ 6 a が半締結されたスリップ状態とに切り替えられる。

【 0 0 1 8 】

前後進切替機構 7 は、ダブルピニオン遊星歯車組 7 a を主たる構成要素とし、そのサンギヤをトルクコンバータ 6 を介してエンジン 5 に結合し、キャリアをプライマリプリー 2 に結合する。前後進切替機構 7 は更に、ダブルピニオン遊星歯車組 7 a のサンギヤおよびキャリア間を直結する前進クラッチ 7 b、およびリングギヤを固定する後進ブレーキ 7 c を備え、前進クラッチ 7 b の締結時にエンジン 5 からトルクコンバータ 6 を経由した入力回転をそのままプライマリプリー 2 に伝達し、後進ブレーキ 7 c の締結時にエンジン 5 からトルクコンバータ 6 を経由した入力回転を逆転減速下にプライマリプリー 2 へ伝達する。

【 0 0 1 9 】

プライマリプリー 2 の回転はベルト 4 を介してセカンダリプリー 3 に伝達され、セカンダリプリー 3 の回転はその後、出力軸 8、歯車組 9 およびディファレンシャルギヤ装置 10 を経て駆動輪 17 に伝達される。

【 0 0 2 0 】

上記の動力伝達中にプライマリプリー 2 およびセカンダリプリー 3 間における回転伝動比（変速比）を変更可能にするために、プライマリプリー 2 およびセカンダリプリー 3 の V 溝を形成する円錐板のうち一方を固定円錐板 2 a、3 a とし、他方の円錐板 2 b、3 b を軸線方向へ変位可能な可動円錐板とする。これら可動円錐板 2 b、3 b はライン圧を元圧として作り出したプライマリプリー圧 P_{pri} およびセカンダリプリー圧 P_{sec} をプライマリプリー室 2 c およびセカンダリプリー室 3 c に供給することにより固定円錐板 2 a、3 a に向け附勢され、これによりベルト 4 を円錐板に摩擦係合させてプライマリプリー 2 およびセカンダリプリー 3 間での動力伝達を行う。

10

20

30

40

50

【 0 0 2 1 】

変速に際しては、目標変速比 $I(o)$ に対応させて発生させたプライマリプリー圧 P_{pri} およびセカンダリプリー圧 P_{sec} 間の差圧により両プリー 2、3 の V 溝幅を変化させ、プリー 2、3 に対するベルト 4 の巻き掛け円弧径を連続的に変化させることで目標変速比 $I(o)$ を実現する。

【 0 0 2 2 】

プライマリプリー圧 P_{pri} およびセカンダリプリー圧 P_{sec} の出力は、前進走行レンジの選択時に締結する前進クラッチ 7 b、および後進走行レンジの選択時に締結する後進ブレーキ 7 c の締結油圧の出力と共に変速制御油圧回路 1 1 により制御される。変速制御油圧回路 1 1 は変速機コントローラ 1 2 からの信号に応答して制御される。

10

【 0 0 2 3 】

変速機コントローラ 1 2 は、プライマリプリー回転速度 N_{pri} を検出するプライマリプリー回転センサ 1 3 からの信号と、セカンダリプリー回転速度 N_{sec} を検出するセカンダリプリー回転センサ 1 4 からの信号と、アクセルペダル踏み込み量 $AP0$ を検出するアクセル開度センサ 1 6 からの信号と、エンジン 5 の制御を司るエンジンコントローラ 1 9 からエンジン回転速度や燃料噴時間などが入力される。

【 0 0 2 4 】

変速機コントローラ 1 2 は、CPU、ROM、RAM などによって構成されており、ROM に格納されたプログラムを CPU によって読み出すことによって、無段変速機 3 0 の機能が発揮される。

20

【 0 0 2 5 】

次に本実施形態の最終角加速度の算出するための制御について図 2 のフローチャートを用いて説明する。以下で説明する制御は所定時間毎に実行されており、例えば 1 / 1 0 0 秒毎に実行される。

【 0 0 2 6 】

ステップ S 1 0 0 では、変速機コントローラ 1 2 は、プライマリプリー回転センサ 1 3 によって算出したプライマリプリー回転速度 N_{pri} に基づいて角速度 ω_0 を算出する。変速機コントローラ 1 2 は、プライマリプリー 2 と一体に回転する回転体 1 5 によって発生されたパルス信号をプライマリプリー回転センサ 1 3 によって検出して角速度 ω_0 を算出する。本実施形態では、変速機コントローラ 1 2 は、単位時間当たりのパルス間の合計時間を単位時間当たりのパルス数によって除算して角速度 ω_0 を算出する。

30

【 0 0 2 7 】

ステップ S 1 0 1 では、変速機コントローラ 1 2 は、角速度 ω_0 の移動平均 ω_{AVE} を式 (1) を用いて算出する。

【 0 0 2 8 】

【 数 1 】

$$\omega_{AVE} = \frac{\sum_{k=1}^n \omega_{-n}}{n} \quad (1)$$

40

【 0 0 2 9 】

ω_{-n} は、今回の制御から n 回前に計算したプライマリプリー 2 の角速度を示す。ここでは、今回の制御の直近の 5 つの角速度 ($n = 5$) を用いて、移動平均 ω_{AVE} を算出する。つまり、移動平均 ω_{AVE} は、今回の制御よりも 5 回前の制御によって算出した角速度 ω_{-5} から、前回の制御によって算出した角速度 ω_{-1} までの移動平均である。

【 0 0 3 0 】

なお、ローパスフィルタを用いて、検出精度を向上することも可能であるが、ローパスフィルタを用いた場合には、例えば髭状に突出した異常値がある場合に、異常値の影響が大きくなり、誤差が大きくなる。また、フィルタの時定数分だけ応答が遅くなる。

50

【 0 0 3 1 】

本実施形態では、移動平均を用いることで、処理負荷が小さくなり、検出精度を向上し、応答性を向上することができる。

【 0 0 3 2 】

今回算出された角速度 ω_0 は、次回の制御で使用される角速度 ω_{-1} として記憶され、今回の移動平均 ω_{AVE} を算出するために使用された角速度 $\omega_{-1} \sim \omega_{-5}$ は、順次、角速度 $\omega_{-2} \sim \omega_{-4}$ として更新される。

【 0 0 3 3 】

ステップ S 1 0 2 では、変速機コントローラ 1 2 は、今回算出された角速度 ω_0 と移動平均 ω_{AVE} との差分 $t m p 1$ を式 (2) により算出する。

10

【 0 0 3 4 】

【 数 2 】

$$t m p 1 = \omega_0 - \omega_{AVE} \quad (2)$$

【 0 0 3 5 】

ステップ S 1 0 3 では、変速機コントローラ 1 2 は、差分 $t m p 1$ を単位時間 t で除算することで、角加速度 $t m p 2$ を算出する。

20

【 0 0 3 6 】

ステップ S 1 0 4 では、変速機コントローラ 1 2 は、角加速度の上限リミッタ H および下限リミッタ L をリミッタ設定制御によって算出する。

【 0 0 3 7 】

ここでリミッタ設定制御について図 3 のフローチャートを用いて説明する。

【 0 0 3 8 】

ステップ S 2 0 0 では、変速機コントローラ 1 2 は、トルクコンバータ 6 の締結状態を判定する。

【 0 0 3 9 】

ステップ S 2 0 1 では、変速機コントローラ 1 2 は、プライマリプーリ回転速度 $N p r i$ と、トルクコンバータ 6 の締結状態とを用いて、図 4 から上限リミッタ H を算出し、図 5 から下限リミッタ L を算出する。

30

【 0 0 4 0 】

図 4 は、プライマリプーリ回転速度 $N p r i$ と、トルクコンバータ 6 の締結状態と、上限リミッタ H との関係を示す図である。上限リミッタ H は、プライマリプーリ回転速度 $N p r i$ が大きくなるほど大きくなり、かつトルクコンバータ 6 の締結状態が、ロックアップ状態、スリップ状態、コンバータ状態となるにつれて大きくなる。

【 0 0 4 1 】

図 5 は、プライマリプーリ回転速度 $N p r i$ と、トルクコンバータ 6 の締結状態と、下限リミッタ L との関係を示す図である。下限リミッタ L は、プライマリプーリ回転速度 $N p r i$ が大きくなるほど負の方向に大きくなり、かつトルクコンバータ 6 の締結状態が、ロックアップ状態、スリップ状態、コンバータ状態となるにつれて負の方向に大きくなる。

40

【 0 0 4 2 】

図 2 に戻り、ステップ S 1 0 5 では、変速機コントローラ 1 2 は、角加速度 $t m p 2$ と、下限リミッタ L とを比較する。そして、変速機コントローラ 1 2 は、角加速度 $t m p 2$ が下限リミッタ L 以下の場合、つまり角加速度 $t m p 2$ の絶対値が下限リミッタ

L の絶対値以上の場合には、ステップ S 1 0 6 へ進む。一方、変速機コントローラ 1 2 は、角加速度 $t m p 2$ が下限リミッタ L よりも大きい場合、つまり角加速度 $t m p 2$ の絶対値が下限リミッタ L の絶対値よりも小さい場合には、ステップ S 1 0 7 へ進

50

む。

【0043】

ステップS106では、変速機コントローラ12は、下限リミッタ L を最終角加速度として設定する。

【0044】

ステップS107では、変速機コントローラ12は、角加速度 t_{mp2} と、上限リミッタ H とを比較する。そして、変速機コントローラ12は、角加速度 t_{mp2} が上限リミッタ H 以上の場合、つまり角加速度 t_{mp2} の絶対値が上限リミッタ H の絶対値以上の場合、ステップS108へ進む。一方、角加速度 t_{mp2} が上限リミッタ H よりも小さい場合、つまり角加速度 t_{mp2} の絶対値が上限リミッタ H の絶対値よりも小さい場合には、ステップS109へ進む。

10

【0045】

ステップS108では、変速機コントローラ12は、上限リミッタ H を最終角加速度として設定する。

【0046】

ステップS109では、変速機コントローラ12は、角加速度 t_{mp2} を最終角加速度として設定する。

【0047】

上記制御では、プライマリプーリ回転速度 N_{pri} が大きくなるほど、角加速度 t_{pm2} が最終角加速度として設定され易くなる。プライマリプーリ回転センサ13は、プライマリプーリ回転速度 N_{pri} が小さくなると、単位時間当たりのパルス数が少なくなり、プライマリプーリ回転速度 N_{pri} の演算精度が低くなる。つまり、プライマリプーリ回転速度 N_{pri} が大きくなると、プライマリプーリ回転速度 N_{pri} の演算精度が高くなり、ステップS103によって算出された角速度 t_{mp2} の演算精度も高くなる。そのため、ステップS201においてプライマリプーリ回転速度 N_{pri} が大きいほど、上限リミッタ H および下限リミッタ L の絶対値は大きくなる。その結果、プライマリプーリ回転速度 N_{pri} が大きいほど角加速度 t_{mp2} が最終角加速度として設定され易くなる。

20

【0048】

また、トルクコンバータ6の締結状態がコンバータ状態となるにつれて、上限リミッタ H および下限リミッタ L の絶対値は大きくなり、角加速度 t_{pm2} が最終角加速度として設定される易くなる。トルクコンバータ6がロックアップ状態、スリップ状態、コンバータ状態となるにつれて、トルクコンバータ6は外乱などによる影響を吸収することができ、角加速度 t_{mp2} の演算精度が高くなる。そのため、トルクコンバータ6の締結状態がコンバータ状態となるにつれて、角加速度 t_{pm2} が最終角加速度として設定される易くなる。

30

【0049】

次に、図2を用いて設定した最終角加速度を用いたプライマリプーリ圧 P_{pri} およびセカンダリプーリ圧 P_{sec} の制御方法について図6のフローチャートを用いて説明する。

40

【0050】

ステップS300では、変速機コントローラ12は、アクセルペダル踏み込み量 APO やエンジン回転速度などからエンジントルク T_e を算出する。

【0051】

ステップS301では、変速機コントローラ12は、エンジントルク T_e と、最終角加速度を用いて式(3)からパリエータ1に入力する入力トルク T_{in} を算出する。

【0052】

【数 3】

$$T_{in} = Te - I \times \Delta\omega \quad (3)$$

【0053】

式(3)において、 I はトルクコンバータ6および前後進切換機構7における慣性モーメントである。慣性モーメント I は、トルクコンバータ6の締結状態がコンバータ状態、スリップ状態、ロックアップ状態となるにつれて大きくなる。これは、プライマリプーリ2からエンジン5を見た場合にエンジン5が負荷となり、トルクコンバータ6の締結状態がロックアップ状態となるにつれて負荷が大きくなるからである。また、慣性モーメント I は、前後進切換機構7の回転要素が多いほど大きくなる。

10

【0054】

ステップS302では、変速機コントローラ12は、目標変速比 $I(o)$ を算出する。変速機コントローラ12は、セカンダリプーリ回転速度 $Nsec$ から求める車速 TVO とアクセルペダル踏み込み量 APO とを用いて、予め設定した変速マップを基に目標入力回転速度を求め、これをセカンダリプーリ回転速度 $Nsec$ で除算することにより、運転状態(車速 TVO およびアクセルペダル踏み込み量 APO)に応じた理論変速比 I_p を求める。

20

【0055】

次いで、プライマリプーリ回転速度 $Npri$ をセカンダリプーリ回転速度 $Nsec$ で除算することにより実変速比 i_p を演算し、理論変速比 I_p と実変速比 i_p との間における偏差を求めたのち、外乱補償した理論変速比 I に、ハードウェアによる応答遅れを加味した一次遅れフィルタ $\{1/(Tm \cdot s + 1)\}$ をかけて目標変速比 $I(o)$ を算出する。

【0056】

ステップS303では、変速機コントローラ12は、入力トルク Tin と目標変速比 $I(o)$ とに基づいて目標プライマリプーリ圧 $Ppri(o)$ および目標セカンダリ圧 $Psec(o)$ を算出する。

【0057】

ステップS304では、変速機コントローラ12は、目標プライマリプーリ圧 $Ppri(o)$ および目標セカンダリプーリ圧 $Psec(o)$ に基づいてプライマリプーリ室2cおよびセカンダリプーリ室3cに油を給排し、プライマリプーリ圧 $Ppri$ およびセカンダリプーリ圧 $Psec$ を制御する。

30

【0058】

以上の制御によってプライマリプーリ圧 $Ppri$ およびセカンダリプーリ圧 $Psec$ が制御され、変速が実現される。

【0059】

本発明の実施形態の効果について説明する。

【0060】

トルクコンバータ6の締結状態がロックアップ状態、スリップ状態、コンバータ状態となるにつれて、絶対値が大きくなるように上限リミッタ H および下限リミッタ L を算出する。そして、角加速度 t_{mp2} の絶対値と、上限リミッタ H または下限リミッタ L の絶対値のうち小さい方の値を最終角加速度として設定する。

40

【0061】

トルクコンバータ6がスリップ状態またはコンバータ状態の場合には、外乱などによる影響をトルクコンバータ6によって吸収することができる。よって、プライマリプーリ回転センサ13によって検出するプライマリプーリ回転速度 $Npri$ に基づいて算出した角加速度 t_{mp2} の精度は高い。この場合には、最終角加速度として角加速度 t_{mp2} を設定することで、プライマリプーリ圧 $Ppri$ およびセカンダリプーリ圧 $Psec$ を正

50

確に制御することができ、燃費を向上し、ベルト滑りを抑制することができる（請求項 1 に対応の効果）。

【0062】

また、トルクコンバータ 6 がロックアップ状態の場合には、外乱などによる影響がプライマリプリー回転センサ 13 にも及び、プライマリプリー回転センサ 13 によって検出したプライマリプリー回転速度 N_{pri} に基づいて算出した角加速度 t_{mp2} の精度は低い。この場合には、最終角加速度として上限リミッタ H または下限リミッタ L を設定することで、外乱などの影響を抑制し、プライマリプリー圧 P_{pri} およびセカンダリプリー圧 P_{sec} を正確に制御することができ、燃費を向上し、ベルト滑りを抑制することができる（請求項 1 に対応の効果）。

10

【0063】

本実施形態を用いずに、プライマリプリー圧およびセカンダリプリー圧をエンジントルクの変化に基づいて制御すると、トルクコンバータなどにおけるイナーシャトルクによって、エンジントルクの変化に基づくトルク変化がバリエータでは起きていないにも関わらず、プライマリプリー圧およびセカンダリプリー圧を上昇または減少させる場合がある。そのため、必要圧に対して、油圧供給超過による燃費の悪化や、油圧供給不足によるベルト滑りが発生するおそれがある。

【0064】

これに対して、本実施形態では、バリエータ 1 の入力トルク T_{in} に基づいてプライマリプリー圧 P_{pri} およびセカンダリプリー圧 P_{sec} を制御することで、トルクコンバータ 6 などにおけるイナーシャトルクなどの影響を受けずに、プライマリプリー圧 P_{pri} およびセカンダリプリー圧 P_{sec} を正確に制御することができる。そのため、燃費を向上し、ベルト滑りの発生を抑制することができる。さらに、角加速度を正確に算出することができるので、バリエータ 1 に入力する入力トルク T_{in} を正確に算出することができ、プライマリプリー圧 P_{pri} およびセカンダリプリー圧 P_{sec} を正確に制御することができる。そのため、燃費を向上し、ベルト滑りの発生を抑制することができる（請求項 2 に対応する効果）。

20

【0065】

プライマリプリー回転速度 N_{pri} が大きくなるほど、上限リミッタ H および下限リミッタ L の絶対値を大きくすることで、プライマリプリー回転速度 N_{pri} の演算精度が高い場合には最終角加速度として角加速度 t_{mp2} が設定されるようにする。これにより、最終角加速度の精度を向上することができ、燃費を向上し、ベルト滑りの発生を抑制することができる（請求項 3 に対応する効果）。

30

【0066】

本発明は上記した実施形態に限定されるものではなく、その技術的思想の範囲内でなしうるさまざまな変更、改良が含まれることは言うまでもない。

【0067】

上記実施形態では、下限リミッタ L を設定し、角加速度 t_{mp2} が負の値となる場合にもリミットをかけているが、角加速度 t_{mp2} が負の値となる場合には、下限リミッタ L を設定せずに、角加速度 t_{mp2} を最終角加速度としてもよい。これにより、角加速度 t_{mp2} が負の方向となる場合、つまりバリエータ 1 に伝達されるトルクが減少する場合に、下限リミッタ L が最終角加速度として設定されることがない。そのため、バリエータ 1 でベルト滑りがしょうじないために必要な油圧よりも低い油圧にプライマリプリー圧 P_{pri} またはセカンダリプリー圧 P_{sec} が制御されることがない。よって、プライマリプリーまたはセカンダリプリーで油圧不足によってベルト滑りが生じることを抑制することができる（請求項 4 に対応する効果）。

40

【0068】

また、本実施形態では、プライマリプリー回転センサ 13 に基づいて角加速度 t_{mp2} を算出したが、これ限られることはなく、トルクコンバータ 6 よりも駆動輪 17 側に配置された例えばタービン回転センサ、車速センサを用いて角加速度を算出してもよい。

50

【 0 0 6 9 】

また、本実施形態では、ベルト 4 をプライマリプーリ 2 とセカンダリプーリ 3 とに巻き回した動力伝達部材として説明したが、これに限られることはなく、複数のリンクをピンで連結したチェーンであってもよい。

【 0 0 7 0 】

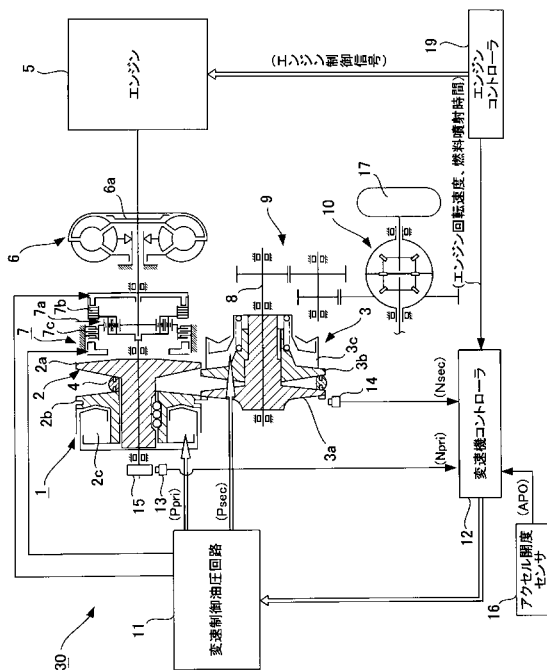
また、本実施形態では、駆動源としてエンジン 5 を用いたが、モータであっても良い。

【 符号の説明 】

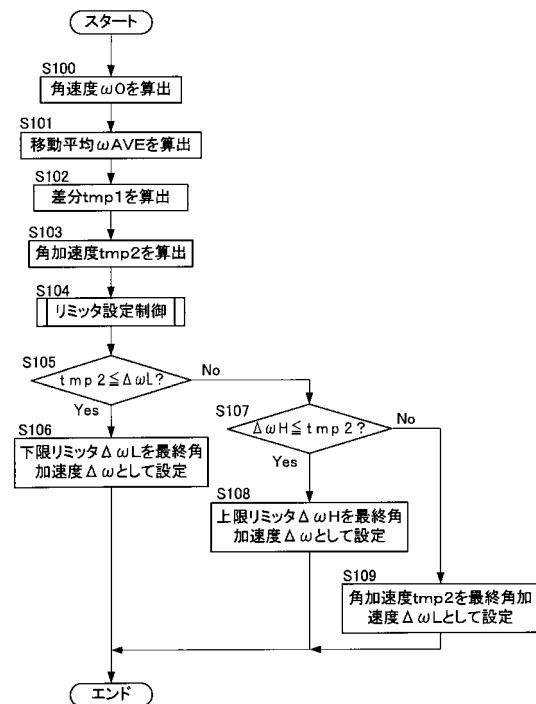
【 0 0 7 1 】

- 1 パリエータ
- 2 プライマリプーリ
- 3 セカンダリプーリ
- 4 ベルト（動力伝達部材）
- 5 エンジン（駆動源）
- 6 トルクコンバータ
- 1 2 変速機コントローラ（回転速度検出手段、回転速度変化量算出手段、リミッタ設定手段、最終変化量設定手段、油圧制御手段、入力トルク算出手段）
- 1 5 回転体
- 3 0 無段変速機

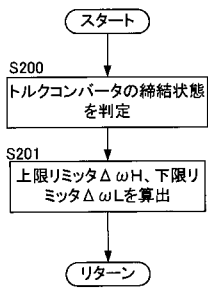
【 図 1 】



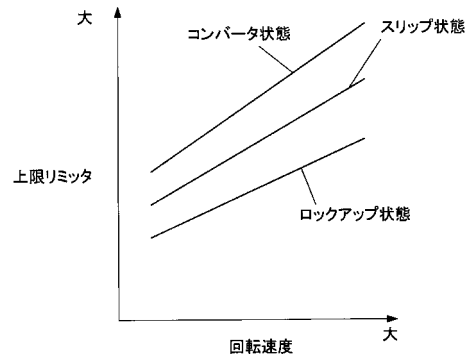
【 図 2 】



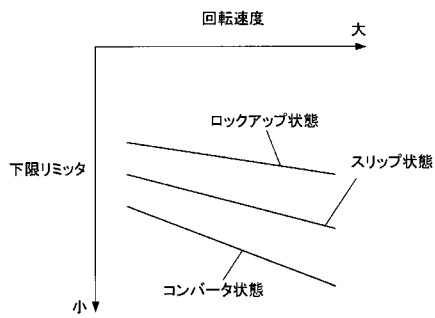
【 図 3 】



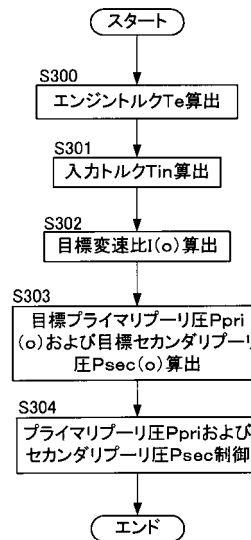
【 図 4 】



【 図 5 】



【 図 6 】



フロントページの続き

(72)発明者 池田 知正

静岡県富士市今泉700番地の1 ジヤトコ株式会社内

Fターム(参考) 3J552 MA07 MA12 NA01 NB01 PA12 PA51 PA59 PA63 QA24C SA36

TB11 VA13W VA32Z VA33W VA34W VA37Z VA42W VC01Z VD02Z